



Title: Sistema de enfriamiento y limpieza para mejorar la eficiencia en paneles fotovoltaicos en la zona sur de Veracruz

Author: Javier, GARRIDO-MELENDEZ, Pablo, REYNA-GUERRA, Beatriz,
ESCOBEDO-TRUJILLO, Eladio, FLORES-MARTÍNEZ

Editorial label ECORFAN: 607-8534
BCIERMMI Control Number: 2018-03
BCIERMMI Classification (2018): 251018-0301

Pages: 25

RNA: 03-2010-032610115700-14

ECORFAN-México, S.C.
244 – 2 Itzopan Street
La Florida, Ecatepec Municipality
Mexico State, 55120 Zipcode
Phone: +52 1 55 6159 2296
Skype: ecorfan-mexico.s.c.
E-mail: contacto@ecorfan.org
Facebook: ECORFAN-México S. C.
Twitter: @EcorfanC

www.ecorfan.org

Holdings

Mexico	Colombia	Guatemala
Bolivia	Cameroon	Democratic
Spain	El Salvador	Republic
Ecuador	Taiwan	of Congo
Peru	Paraguay	Nicaragua

Introducción

Las energías limpias según ERENOVABLE (2016), son sistemas de producción de energía con exclusión de cualquier contaminación.

La eficiencia de los Paneles Fotovoltaicos (PF) tiende a disminuir debido a las impurezas que se alojan en la superficie de los mismos y a causa de las altas temperaturas a las que están expuestos.



Universidad Veracruzana



Objetivo

- Diseñar y construir un sistema de enfriamiento y limpieza que mejore la eficiencia de los paneles fotovoltaicos (PF) causados por la acumulación de polvo y arena en la superficie de los PF, así como bajar la temperatura de la superficie de los paneles.

Metodología

- Investigar, calcular y medir la disminución en la eficiencia de los PF debido al contacto con polvo, salitre y otras impurezas que obstruyan el paso de la radiación solar así como debido a las altas temperaturas.
- Diseñar y construir un sistema de enfriamiento y limpieza para mejorar la eficiencia en los PF
- Realizar pruebas y mediciones de temperatura, voltaje y corriente para poder calcular la eficiencia de los mismos.
- Comparar la eficiencia de los PF con el sistema de limpieza y enfriamiento contra los PF sin el sistema de limpieza.

Antecedentes

- Diferentes trabajos relacionados en mejorar la eficiencia en los paneles Fotovoltaicos se presentan en (Krauter, 2004), (Colt, 2016), (Santos, 2017) , (Bahaidarah, 2015), (Dousoky, 2011) y (Mokhtari, 2009), el trabajo presentado por (Prudhvi, 2012) propone un sistema de enfriamiento activo de PF al hacer recircular agua sobre la superficie de los mismos con ayuda de una bomba, asegurando una mayor eficiencia, la diferencia con respecto al trabajo presentado es en el diseño del sistema de enfriamiento y la forma de operación de la bomba.

Antecedentes

Debido a la ubicación geográfica de la ciudad de Coatzacoalcos, Veracruz, es factible el uso de PF para la generación de energía eléctrica, ya que por su latitud y longitud se puede alcanzar una radiación promedio solar diaria de 1102 W/m^2 según la (Estación Meteorológica DAVIS 6153 VANTAGE PRO2, 2017) y una irradiación hora solar pico (HSP) de $4.87 \text{ kW/m}^2/\text{día}$, una temperatura promedio de 29.24°C , y se presentan en promedio 50 frentes fríos al año, los cuales arrastran grandes cantidades de arena de playa hacia dentro de la ciudad.



Universidad Veracruzana



UNIVERSIDAD TECNOLÓGICA
DEL SURESTE DE VERACRUZ



**Congreso Interdisciplinario de Energías Renovables,
Mantenimiento Industrial, Mecatrónica e Informática**



Universidad Veracruzana



Cálculos para conocer la eficiencia y
potencia de los PF con respecto a la
temperatura ambiente.

Cálculo de temperatura y eficiencia de los PF de la UV Campus Coatzacoalcos.

Datos	Valores	Unidades de medida
Latitud (ϕ)	18.15	Grados Norte ($^{\circ}$ N)
Hora del día en decimal (t)	13.5	Horas (Hrs)
Insolación horizontal (I_{hor})	345	Wh/m ²
Día Juliano (nj)	285	Días
Angulo del panel con respecto a la horizontal (β)	18	Grados ($^{\circ}$)
Reflectancia (ρ)	0.2	S/U
Temperatura ambiente (Ta)	29	Grados Centígrados ($^{\circ}$ C)
Temperatura Nominal (Noct)	46	Grados Centígrados ($^{\circ}$ C)
Eficiencia de referencia del panel (n_{ref})	14.90	Porciento (%)
Coeficiente de corrección de temperatura (β_{ref})	0.30	Porciento (%)
Temperatura estándar del panel (T_{stc})	25	Grados Centígrados ($^{\circ}$ C)
Irradiación en condiciones de prueba estándar (G_{stc})	1000	W/m ²
Número de PF utilizados en la instalación fotovoltaica	7	S/U

Datos de referencia para el cálculo de eficiencia de PF con pérdidas por temperatura

- Declinación solar (δ)

$$\delta = 23.45^\circ \operatorname{sen} \left(360 \frac{284+nj}{365} \right) \quad (1)$$

- Ángulo horario (ω).

$$\omega = \frac{360(12-t)}{24} \quad (2)$$

- Ángulo cenital (θ_z).

$$\operatorname{Cos}\theta_z = \operatorname{cos}\varphi \operatorname{cos}\delta \operatorname{cos} \omega + \operatorname{sen}\varphi \operatorname{sen}\delta \quad (3)$$

- Altitud solar (h).

$$h = 90 - \theta_z \quad (4)$$

- Ángulo de incidencia solar (θ)

$$\cos\theta = \cos\theta_z \cos\beta + \sin\theta_z \sin\beta \cos\alpha \quad (6)$$

- Constante de radiación solar directa sobre la superficie inclinada (R_b):

$$R_b = \frac{\cos\theta}{\cos\theta_z} \quad (7)$$

- Constante de radiación solar difusa sobre la superficie inclinada (R_d):

$$R_d = \frac{1+\cos\beta}{2} \quad (8)$$

- Constante de radiación solar reflejada sobre la superficie inclinada (R_r):

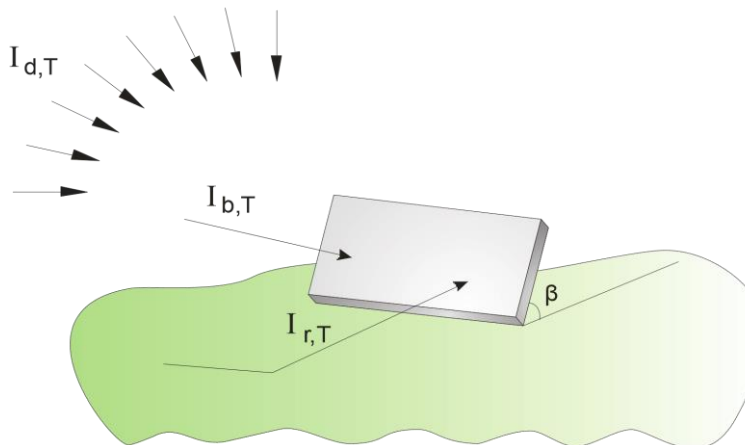
$$R_r = \frac{1-\cos\beta}{2} \quad (9)$$

- Radiación directa horizontal (I_b),
- Difusa horizontal (I_d) y
- Reflectancia del plano horizontal (I_p) en Wh/m^2 :

$$I_b = 0.34 \times I_{hor} \quad (10)$$

$$I_d = 0.66 \times I_{hor} \quad (11)$$

$$I_p = I_{hor} \times \rho \quad (12)$$



- Irradiación solar total

$$I_{tilt} = I_b R_b + I_d R_d + I_p R_r \quad (13)$$

- La temperatura de la célula T_c

$$T_c = T_a + \frac{NOCT - 20}{800} I_{tilt} \quad (14)$$

- La eficiencia de un módulo fotovoltaico se puede calcular como:

$$\eta_{PV} = \eta_{ref} [1 - \beta_{ref} (T_c - T_{stc})] \quad (15)$$

- La potencia de salida de un módulo fotovoltaico:

$$P_{output} = P_{max,stc} \left(\frac{I_{tilt}}{G_{stc}} \right) [1 - \beta_{ref} (T_c - T_{stc})] \quad (16)$$

Resultados de temperatura de la celda fotovoltaica, eficiencia y potencia con pérdidas por temperatura.

Resultados								
Datos Requeridos	Valores	Unidades de Medida	Grados Solares			Radiación Difusa Horizontal		
ϕ =latitud	18.15	°N	δ	-8.48		I_d	227.7	Wh/m ²
t= tiempo hrs	13.5	hrs	ω	-22.50		Radiación Directa Horizontal		
lhor	345	Wh/m ²	θ_z	34.68		I_b	117.3	Wh/m ²
I_d	0.66	S/U	h	55.32		Radiación Reflejada		
I_b	0.34	S/U	α	-41.70		I_p	69	Wh/m ²
Dia juliano (nj)	285	S/U	θ	24.02		Irradiación Solar Total Reflejada En La Superficie Inclinada Por Hora		
β =angulo panel	18	°	Radiación Solar Directa			H_{tilt}	354.10	Wh/m ²
ρ =reflectancia	0.2	S/U	R_b	1.11		Irradiación Solar Total Reflejada En La Superficie Inclinada Por Hora		
Ta=temp ambiente	29	°C	Radiación Solar Difusa			T_c	40.51	°C
Noct	46	°C	R_d	0.98		Temperatura De La Celda Solar		
angulo a	23.45	°	Radiación Solar Reflejada			Eficiencia Del Panel Solar Con Perdidas Por Temperatura		
angulo b	360	°	R_r	0.02		η_{pv}	14.21%	
Datos Requeridos PF			η_{ref} del panel			95.3	%	163 Watts perdidos
B_{ref} = coefic de corrección de temp		%	B_{ref} = coefic de corrección de temp			4.7	% de eficiencia perdida	
Tstc=Temp estandar		°C	Gstc					
Datos Requeridos PF y Gstc			1000 W/m ²					

Datos	Resultados
Temperatura de la célula (Tc)	40.51°C
Eficiencia de los PF con pérdidas por temperatura (η_{PV})	14.21%
Potencia de salida de los PF (P_{output})	1181.69 Wh



Universidad Veracruzana

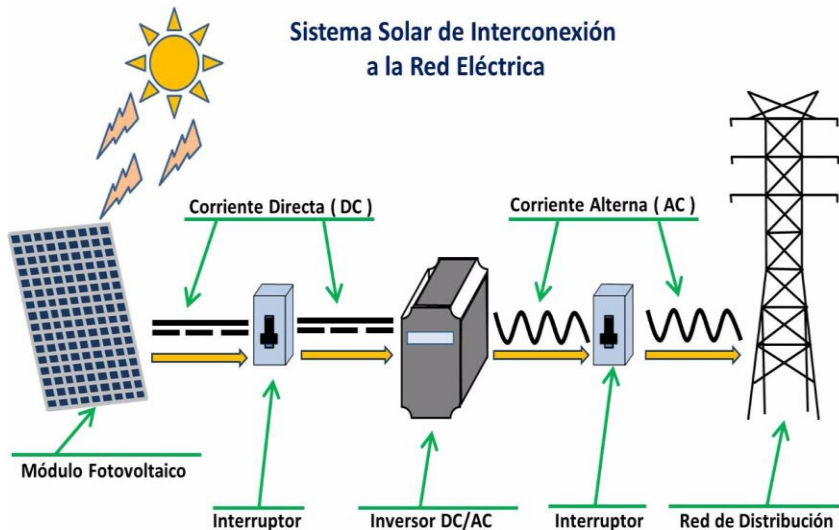


UNIVERSIDAD TECNOLÓGICA
DEL SURESTE DE VERACRUZ

Sistema de enfriamiento y limpieza de los PF

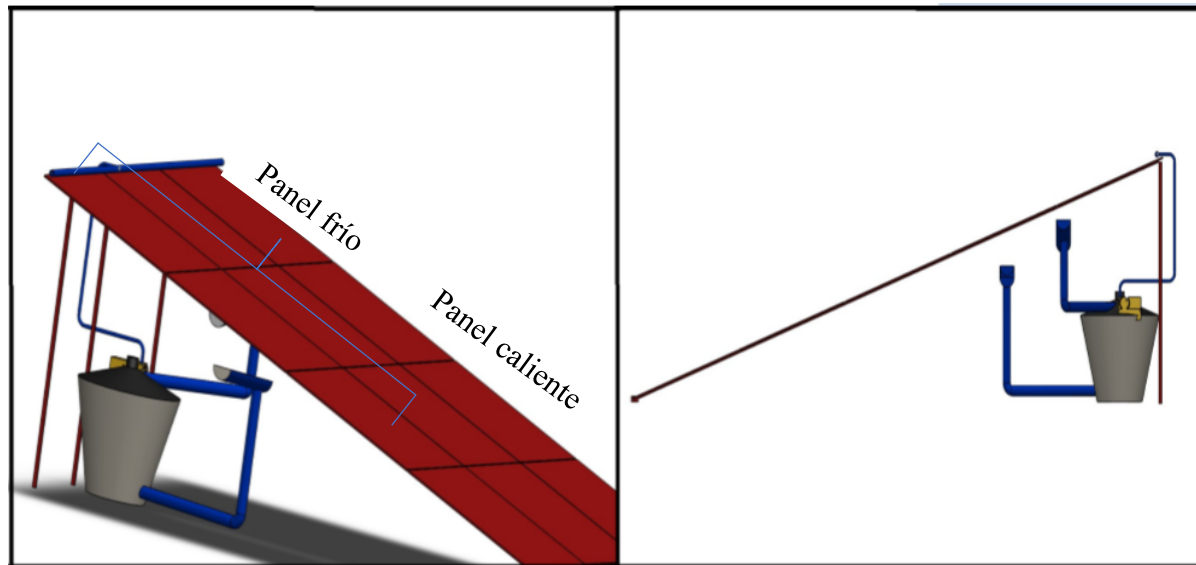
Desarrollo experimental.

El sistema Fotovoltaico consiste en 14 PF con una potencia total de 3500 W los cuales están configurados en 2 circuitos en serie de 7 paneles cada uno, generando un voltaje de 220 V de CD, los cuales se conectan a un inversor Blueplanet 3502xi-US.



Sistema de enfriamiento y limpieza.

Se utiliza un sistema de enfriamiento el cual consiste en la recirculación de agua, mediante el uso de una bomba, el cual suministra una cortina de agua en la parte superior de los paneles.



El sistema de enfriamiento arranca al conectar la bomba de 174.4 W, 120 V de CA cuando las celdas estén por arriba de 35°C, se enciende 24 segundos (40%) y 36 segundos (60%) se mantiene apagado.



Sistema de recirculación de agua sobre la superficie de los PF
de la UV Campus Coatzacoalcos



Vista paneles limpios contra paneles sucios



Universidad Veracruzana



UNIVERSIDAD TECNOLÓGICA
DEL SURESTE DE VERACRUZ

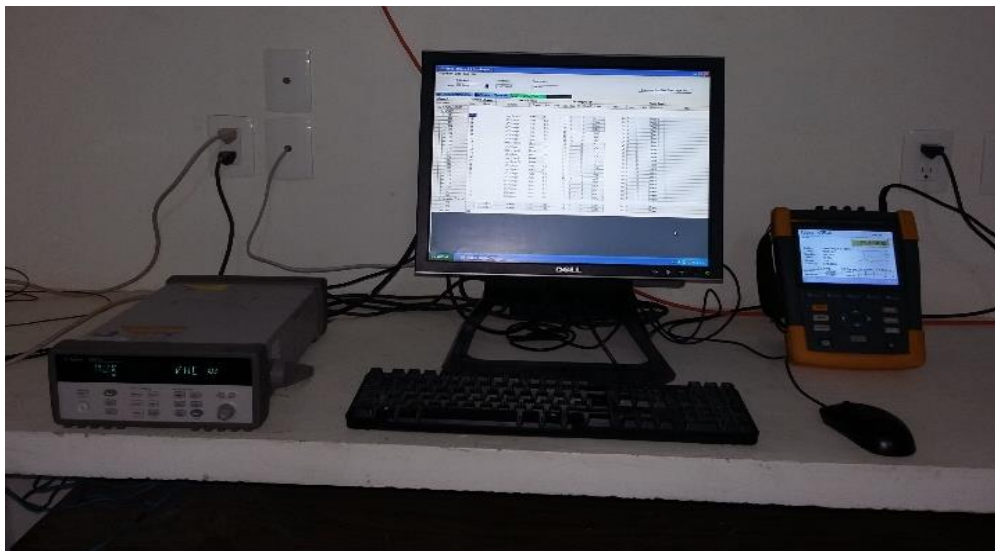


**Congreso Interdisciplinario de Energías Renovables,
Mantenimiento Industrial, Mecatrónica e Informática**



Mediciones de las variables

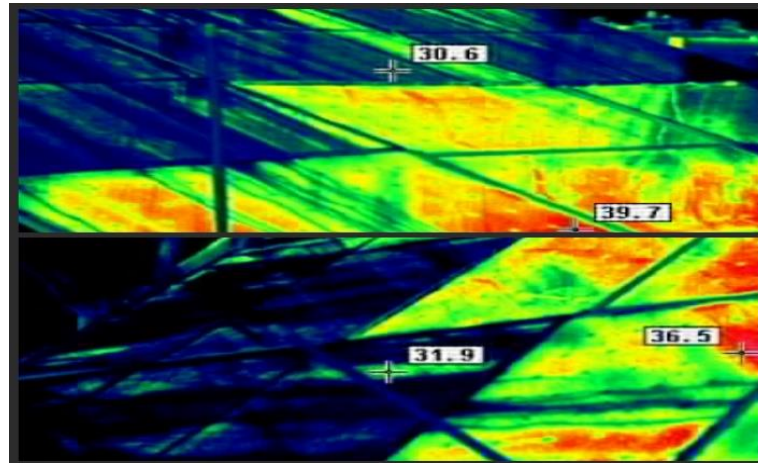
Para comprobar la eficiencia de los paneles, se utilizó un adquisidor de datos agilent 34972A para medir las variables de temperatura ambiente y de la superficie de los paneles, los voltajes y corrientes de CD generados por los PF, voltajes y corrientes de CA generados a la salida del inversor, se calcularon las potencias y se compararon.



Se midió la energía consumida por la bomba (174.4W) con la ayuda de un wattmetro sanelec 4346.



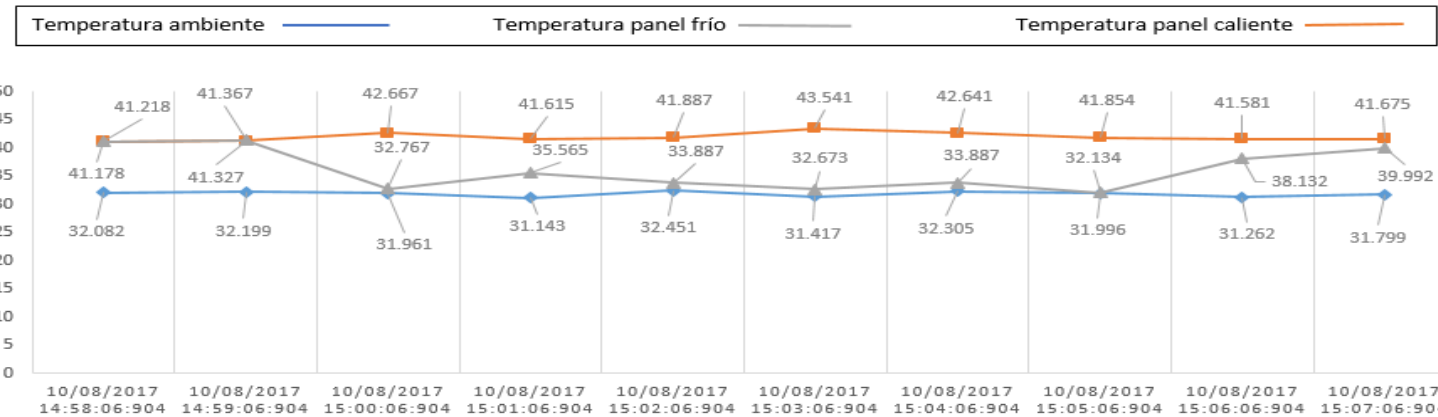
También, se utilizó una cámara termográfica, esto con el fin de apreciar la reducción de temperatura de los PF con el sistema de enfriamiento y sin el sistema de enfriamiento fotovoltaico.



RESULTADOS Y CONCLUSIONES

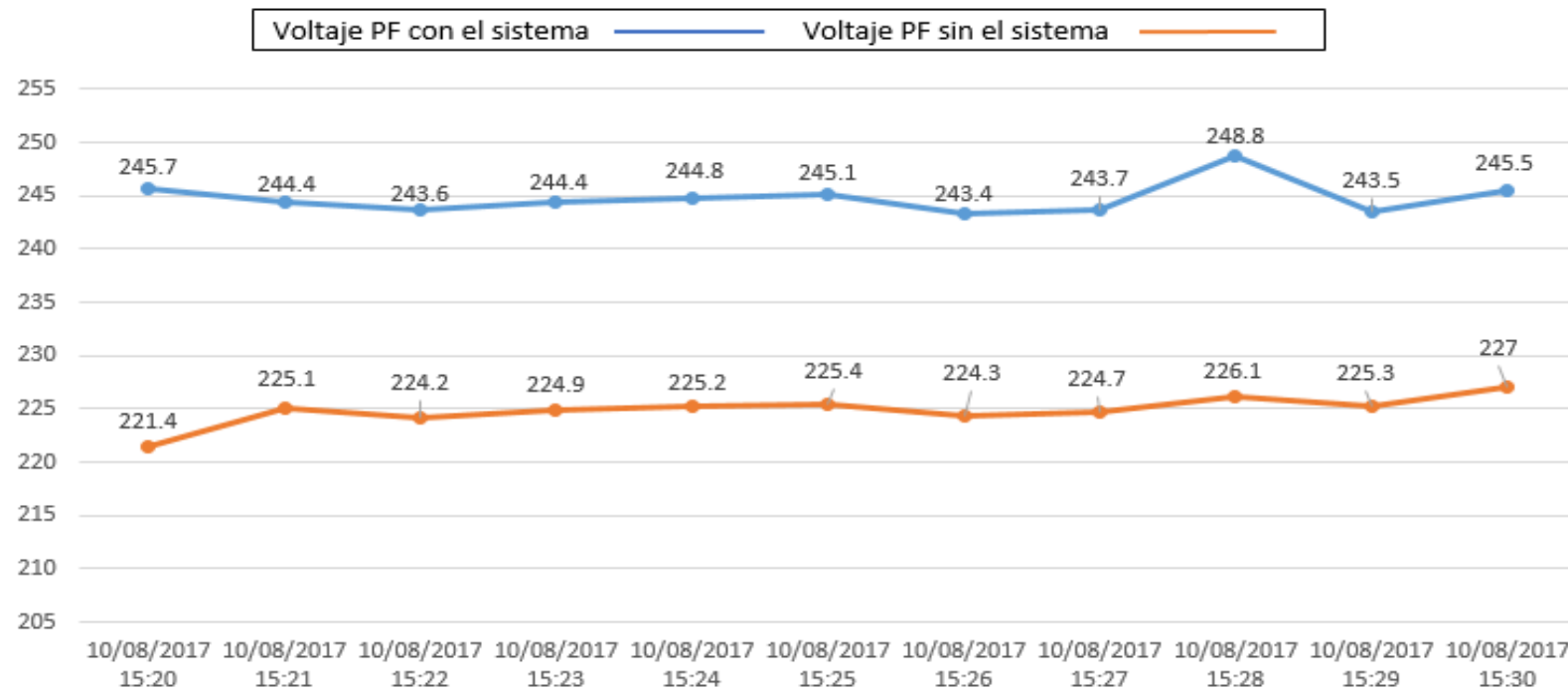
Se hizo una recopilación de datos de temperatura ambiente y la temperatura en los PF y se comprobó que el sistema de enfriamiento reduce la temperatura en la superficie del panel frío en promedio 10 °C (los paneles que cuenta con el sistema de recirculación de agua), comparado con la del panel caliente (los paneles que no cuentan con el sistema de recirculación de agua).

COMPARACIÓN, TEMPERATURA AMBIENTE Y TEMPERATURAS DE LOS PANELES CON EL SISTEMA DE REFRIGERACIÓN VS PANELES SIN EL SISTEMA DE REFRIGERACIÓN





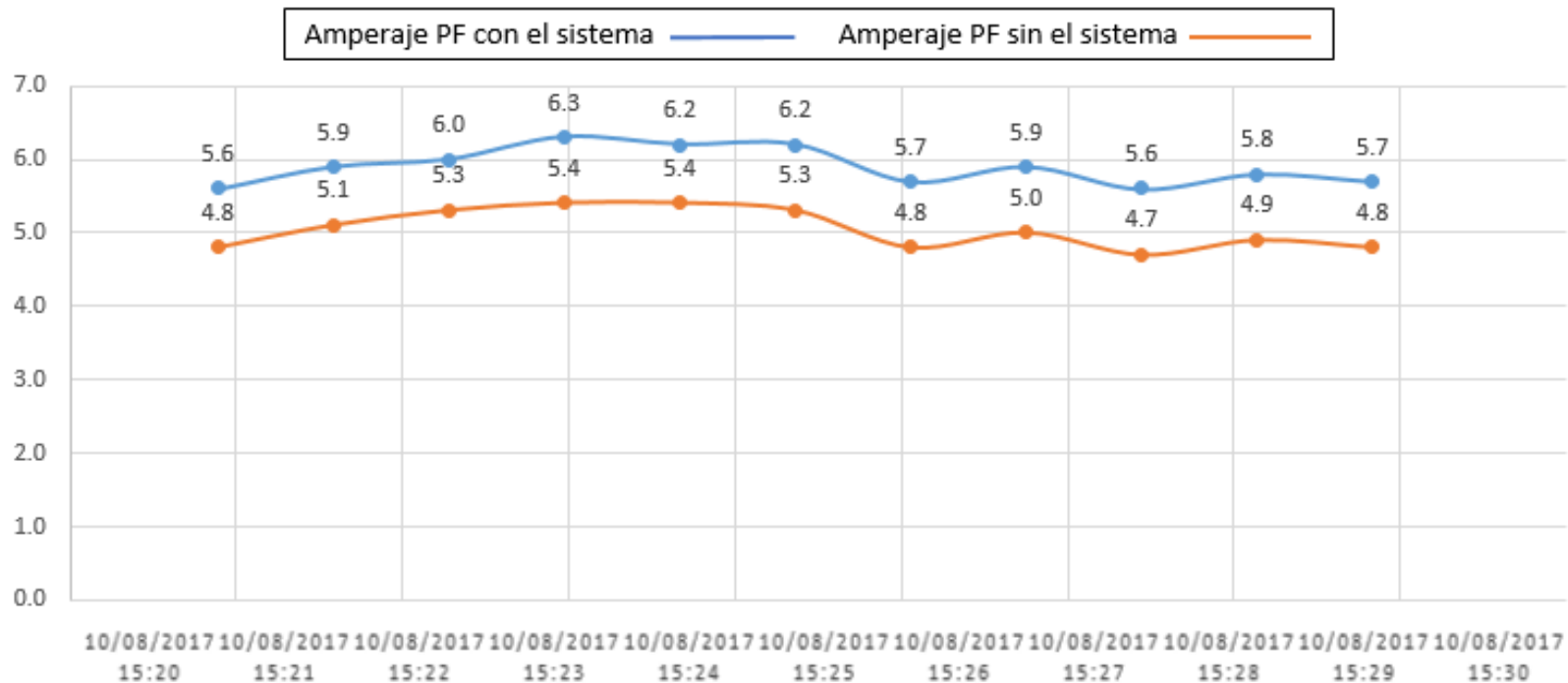
PRUEBA DE VOLTAJE CON PANELES UTILIZANDO EL SISTEMA DE LIMPIEZA Y ENFRIAMIENTO VS PANELES SIN EL SISTEMA



Gráfica de voltaje



PRUEBA DE CORRIENTE CON PANELES UTILIZANDO EL SISTEMA DE LIMPIEZA Y ENFRIAMIENTO VS PANELES SIN EL SISTEMA



Gráfica de amperaje

Resultado de eficiencia de los PF

Resultados de potencia útil de los PF

Dato	Resultados
Potencia útil de salida de los PF con el sistema de enfriamiento y limpieza	1.374 KWh
Potencia útil de salida de los PF sin el sistema de enfriamiento y limpieza	1.135 KWh
Diferencia	0.239 KWh

Dato	Ganancia (Eficiencia)	Ganancia (Potencia)
Eficiencia final de los PF con el sistema de enfriamiento y limpieza.	21.14%	0.239KWh

Teniendo una mejora promedio mensual de 79.29 KWh/mes y al año de 951.46 KWh/año

Referencias

- Bahaidarah, H. M. S. (2015). Experimental performance investigation of uniform and non-uniform cooling techniques for photovoltaic systems. Paper presented at the 2015 IEEE 42nd Photovoltaic Specialist Conference (PVSC).
- Cabanillas, R. E., & Munguía, H. (2011). Dust accumulation effect on efficiency of Si photovoltaic modules. *Journal of Renewable and Sustainable Energy*, 3(4), 043114.
- Colț, G. (2016). Performance evaluation of a PV panel by rear surface water active cooling. Paper presented at the 2016 International Conference on Applied and Theoretical Electricity (ICATE).
- Hee, J. Y., Kumar, L. V., Danner, A. J., Yang, H., & Bhatia, C. S. (2012). The Effect of Dust on Transmission and Self-cleaning Property of Solar Panels. *Energy Procedia*, 15, 421-427.
- Melis, W. J. C., Mallick, S. K., & Relf, P. (2014). Increasing solar panel efficiency in a sustainable manner. Paper presented at the 2014 IEEE International Energy Conference (ENERGYCON).
- Nahar, N. M., & Gupta, J. P. (1990). Effect of dust on transmittance of glazing materials for solar collectors under arid zone conditions of India. *Solar & Wind Technology*, 7(2), 237-243.
- Okoye, C. O., & Solyali, O. (2017). Optimal sizing of stand-alone photovoltaic systems in residential buildings. *Energy*, 126, 573-584.
- Prudhvi, P., & Sai, P. C. (2012). Efficiency improvement of solar PV panels using active cooling. Paper presented at the 2012 11th International Conference on Environment and Electrical Engineering
- Zorrilla-Casanova, J., Philiougue, M., Carretero, J., Bernaola, P., Carpeta, P., Mora, L., Sidrach-de-Cardona, M. (2011). Analysis of Dust Losses in Photovoltaic Modules. Paper presented at the World Renewable Energy Congress - Sweden; 8-13 May; 2011; Linköping; Swede.



ECORFAN®

© ECORFAN-Mexico, S.C.

No part of this document covered by the Federal Copyright Law may be reproduced, transmitted or used in any form or medium, whether graphic, electronic or mechanical, including but not limited to the following: Citations in articles and comments Bibliographical, compilation of radio or electronic journalistic data. For the effects of articles 13, 162,163 fraction I, 164 fraction I, 168, 169,209 fraction III and other relative of the Federal Law of Copyright. Violations: Be forced to prosecute under Mexican copyright law. The use of general descriptive names, registered names, trademarks, in this publication do not imply, uniformly in the absence of a specific statement, that such names are exempt from the relevant protector in laws and regulations of Mexico and therefore free for General use of the international scientific community. BCIERMMI is part of the media of ECORFAN-Mexico, S.C., E: 94-443.F: 008- (www.ecorfan.org/ booklets)